УДК 535.338.42+621.375.82

ФИЗИКА

В. С. ЛЕТОХОВ, А. А. МАКАРОВ, Е. А. РЯБОВ

ОПРЕДЕЛЕНИЕ ФАКТОРА ЗАСЕЛЕННОСТИ КОЛЕБАТЕЛЬНО-ВРАЩАТЕЛЬНЫХ УРОВНЕЙ МОЛЕКУЛ МЕТОДОМ НАСЫЩЕНИЯ ПОГЛОЩЕНИЯ ЛАЗЕРНЫМ ИЗЛУЧЕНИЕМ

(Представлено академиком Н. Г. Басовым 2 Х 1972)

1. В настоящее время с помощью лазерного излучения можно исследовать колебательно-вращательные полосы молекул даже в тех случаях, когда обычными методами не удается разрешить их вращательную структуру. К сожалению, расшифровка колебательно-вращательной структуры полосы остается чрезвычайно сложной для многоатомных молекул и обычно мы не знаем, какие вращательные подуровни многоатомной молекулы поглощают лазерное излучение. Типичным примером является полоса поглощения v_3 молекулы SF₆ в области 10,6 μ , относительно которой удалось установить только (¹), что для переходов, поглощающих излучение CO_2 -лазера, $J=50\div80$. В то же время знание даже такой характеристики, как доля молекул, участвующих в поглощении, существенно для спектроскопии и особенно для интерпретации экспериментов по воздействию и.-к. лазерного излучения на молекулы.

В данной работе предложен метод определения фактора заселенности колебательно-вращательного подуровня q, который выражается через статистическую сумму вращательных состояний $Z_{\rm вp}$, вырождение подуровня g и энергию подуровня E: $q = Z_{\rm вp}^{-1} \exp{(-E/kT)}$. Метод продемонстрирован на эксперименте с молекулой C_2F_3Cl , поглощающей излучение CO_2 -лазера в области $9.6~\mu$.

2. Рассмотрим насыщение поглощения на колебательно-вращательном переходе молекул под действием пмпульса монохроматического излучения, настота которого совпадает с частотой какого-либо колебательно-вращательного перехода полосы *. При предположениях, что линия поглощения однородно уширена, времена вращательной релаксации и статистические веса для нижнего и верхнего уровней соответствующего перехода равны, спонтанное излучение и колебательная релаксация пренебрежимо малы за время импульса, уравнения, описывающие заселенности пижнего и верхнего вращательных подуровней, можно представить в виде

$$\frac{\partial n_1 / \partial t = -w (n_1 - n_2) + (n_{p_1} - n_1) / \tau_{sp},}{\partial n_2 / \partial t = w (n_1 - n_2) + (n_{p_2} - n_2) / \tau_{sp},}$$
(1)

где w — вероятность индуцированных переходов между подуровнями в поле монохроматической волны, $\tau_{\rm Ep}$ — время вращательной релаксации, $n_{\rm p_1}$, $n_{\rm p_2}$ — равновесные плотности молекул на соответствующих вращательных подуровнях. Если $N_{\rm 1}$, $N_{\rm 2}$ — полные заселенности колебательных уровней, то $n_{\rm p_1}$, $n_{\rm p_2}$ определяются соотношениями $n_{\rm p_1}=q_{\rm 1}N_{\rm 1}$, $n_{\rm p_2}=q_{\rm 2}N_{\rm 2}$, где $q_{\rm 1}$, $q_{\rm 2}$ — определяемые факторы заселенности рабочих вращательных подуровней. В дальнейшем примем $q_{\rm 1}=q_{\rm 2}=q_{\rm 2}$

^{*} Некоторые вопросы кинетики насыщения поглощения молекул рассматривались в работах ($^{2-4}$).

Пусть на кювету с исследуемым газом подается лазерный импульс прямоугольной формы с длительностью t_n , включенный в момент времени t=0. Нас будет интересовать характеризующая нелинейные эффекты в поглощении величина S, определяемая соотношением

$$S = \frac{d}{dE_{\text{norn}}} \left(\ln \frac{E_{\text{BX}}}{E_{\text{BMX}}} \right) \Big|_{E_{\text{norn}} = 0}, \tag{2}$$

где $E_{\rm Bx}$ — плотность энергии на входе кюветы, $E_{\rm Bbx}$ — плотность энергии на выходе кюветы, $E_{\rm погл}=E_{\rm Bx}-E_{\rm Pbx}$. Для вычисления S достаточно ограничиться первыми двумя членами для $E_{\rm погл}$ в разложении по степеням $E_{\rm Bx}$, т. е. достаточно представить $E_{\rm погл}$ в виде

$$E_{\text{HOPI}} = \alpha E_{\text{BX}} + \beta E_{\text{BX}}^2, \tag{3}$$

где α — коэффициент, характеризующий линейное поглощение, β — первый нелинейный коэффициент. В обозначениях (3) величина S определяется выражением

$$S = \frac{\beta}{\alpha (1 - \alpha)}. \tag{4}$$

Для нахождения $E_{\text{погл}}$ и S необходимо учесть изменение интенсивности лазерного излучения из-за поглощения. Уравнение для изменения интенсивности при прохождении через кювету, выраженной в единицах пропорциональной ей вероятности индуцированных переходов w имеет вид

$$\frac{\partial w}{\partial z} = -\frac{\sigma}{q} w(n_0 - n_1), \tag{5}$$

где σ — сечение поглощения в расчете на все молекулы поглощающего газа, z — координата, вдоль которой распространяется излучение, причем $w|_{z=0}=w_0=\sigma E_{\rm nx}/\left(\hbar\omega qt_{\rm n}\right)$ определяется энергией на входе.

Поглощенная в среде с толщиной L энергия

$$E_{\text{morm}} = \hbar \omega \int_{0}^{L} N_{2}(z) dz = \hbar \omega v (L).$$
 (6)

Для полного числа возбужденных излучением молекул в столбе с длиной L и сечением 1 см 2 можно получить следующее выражение:

$$v = g_1 w_0 + g_2 w_0^2 + \dots,$$

где коэффициенты

$$g_1 = \frac{q}{\sigma} \left[1 - \exp\left(-\sigma N_0 L\right) \right] t, \tag{7}$$

$$g_2 = -\frac{2q}{\sigma} \exp\left(-\sigma N_0 L\right) \left[1 - \exp\left(-\sigma N_0 L\right) \right] \times \left[\left(\frac{qt^2}{\sigma} \right) \right]$$

$$\times \left\{ \frac{qt_{\text{II}}^2}{2} + (1-q)\tau_{\text{Bp}}t_{\text{II}} - (1-q)\tau_{\text{Bp}}^2 \left[1 - \exp\left(-\frac{t_{\text{II}}}{\tau_{\text{Bp}}}\right) \right] \right\}. \tag{8}$$

Для коэффициента α , характеризующего линейное поглощение, и первого нелинейного коэффициента β в разложении (3) получаем $\alpha = 1 - \exp(-\sigma N_0 L)$,

$$\beta = -\frac{\sigma}{\hbar\omega} \exp\left(-\sigma N_0 L\right) \left[1 - \exp\left(-\sigma N_0 L\right)\right] \left\{1 + \frac{2\left(1 - q\right)}{q} \frac{\tau_{\rm Bp}}{t_{\rm H}} - \frac{2\left(1 - q\right)}{q} \left(\frac{\tau_{\rm Bp}}{t_{\rm H}}\right)^2 \left[1 - \exp\left(-\frac{t_{\rm H}}{\tau_{\rm Bp}}\right)\right]\right\}. \tag{9}$$

Окончательно из (4) имеем

$$S = -\frac{\sigma}{\hbar\omega} \left\{ 1 + \frac{2(1-q)}{q} \frac{\tau_{\rm Bp}}{t_{\rm M}} - \frac{2(1-q)}{q} \left(\frac{\tau_{\rm Bp}}{t_{\rm M}} \right)^2 \left[1 - \exp\left(-\frac{t_{\rm H}}{\tau_{\rm Bp}} \right) \right] \right\}. \tag{10}$$

Введем плотность энергии, характеризующей нелинейность поглощения, соотношением $E_s = -1/(2S)$.

Если время вращательной релаксации τ_{**} гораздо больше длительности импульса t_* (чисто двухуровневая система), то величина

$$E_{\rm S} \simeq q^{\frac{\hbar \omega}{2\sigma}}$$
 при $\tau_{\rm sp} \gg t_{\rm H}$. (11)

В другом предельном случае длинного импульса имеем

$$E_S \simeq \frac{\hbar \omega}{2\sigma}$$
 при $\tau_{\rm Bp} \ll q t_{\rm H}$. (12)

Итак, величина E_s существенно зависит от времени вращательной релаксации. Величину $\tau_{вр}$ можно менять, изменяя давление буферного газа.

Таким образом, важный параметр молекулярного перехода может быть найден из соотношения двух предельных значений E_s , поскольку отношение предельных значений сечения поглощения в расчете на все молекулы поглощающего газа равно отношению соответствующих начальных коэффициентов поглощения слабого поля и может быть найдено, если измерить зависимость начального коэффициента поглощения α₀ от давления буферного газа.

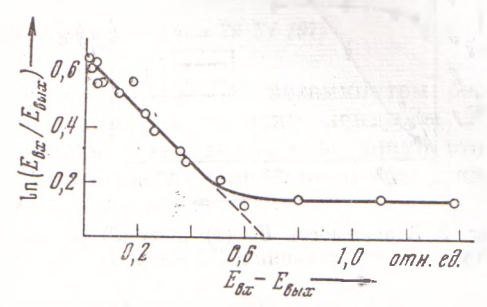


Рис. 1. Зависимость $\ln{(E_{\rm ex}/E_{\rm Bhx})}$ от $E_{\rm ex}-E_{\rm Bhix}$ при суммарном давлении C_2F_3Cl и He 3,4 тор, $E_S=0,52$ отн. ед.

3. В эксперименте использовался CO_2 -лазер с поперечным разрядом (5), который в режиме одной поперечной моды давал 30—40 мдж в импульсе с длительностью по полувысоте $2 \cdot 10^{-7}$ сек, в области 9,6 µ. Использование решетки 100 штрихов на 1 мм в качестве одного из отражателей резонатора позволяло настраиваться на нужную линию генерации лазера в Р-ветви 9,6 µ, которая находится в резонансе с линией поглощения C₂F₅Cl. С помощью формирующих зеркал излучение лазера направлялось в кювету с газом. Длина кюветы $L=66~{
m cm},$ диаметр пучка на входе кюветы 2 мм. Использование калиброванных ослабителей позволяло менять величину плотности энергии в импульсе в 10³ раз (от 0,6 мдж/см² до 600 дж/см²). Величина импульса излучения лазера на входе и выходе кюветы регистрировалась с помощью предварительно откалиброванных приемников Ge : Au D_1 и D_2 . Приемники калибровались с помощью калориметра и оказалось, что полная энергия импульса пропорциональна амплитуде максимума. При прохождении импульса через C₂F₃Cl его форма не менялась. Поэтому плотность энергии импульса на входе и на выходе определялась по амилитуде максимума импульса в относительных единицах.

В эксперименте непосредственно измерялась величина плотности энергии импульса CO_2 -лазера на выходе кюветы в зависимости от величины плотности энергии на входе кюветы при разных давлениях буферного газа. Давление C_2F_3Cl было постоянным и равнялось 0,65 тор. В качестве буферного газа использовался гелий.

Результаты эксперимента для суммарного давления C_2F_3Cl и Не 3,4 тор представлены на рис. 1. Как было показано выше, тангенс угла между линейным участком графика и горизонтальной осью равен $1/(2E_s)$, где E_s — энергия лазерного импульса, характеризующая нелинейные эффекты в поглощении. В случае двухуровневой системы E_s — энергия насыщения. По такой методике была определена величина E_s при разных давлениях буферного газа.

Зависимость E_s от суммарного давления C_2F_3Cl и Не представлена на рис. 2. Неточность значения E_s определялась ошибкой в определении наклона кривых зависимости $\ln (E_{\tt ex}/E_{\tt emx})$ от $(E_{\tt ex}-E_{\tt emx})$. Было также произведено измерение начального коэффициента поглощения α_0 для слабого поля на единицу длины при разных давлениях Не и постоянном давлении C_2F_3Cl 0,65 тор. Зависимость α_0L , где L — длина кюветы, от суммарного давления C_2F_3Cl и Не представлена на рис. 2.

4. Найденная экспериментальная зависимость E_s от давления качественно вполне согласуется с результатами, полученными выше. Плато эк-

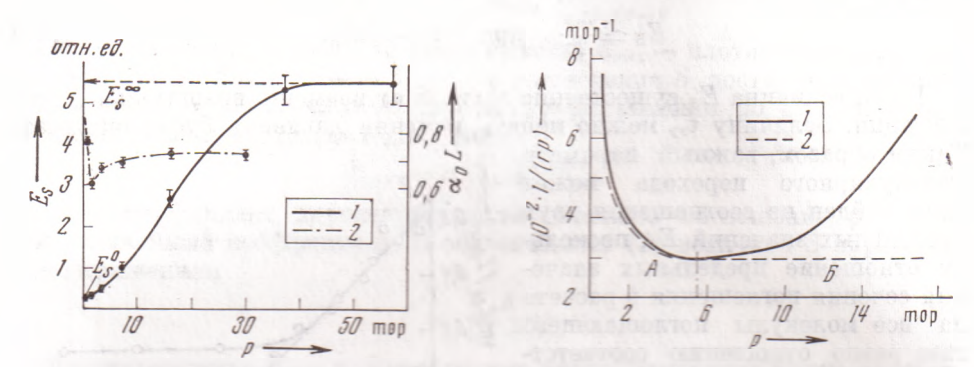


Рис. 2. Зависимость $E_{\rm S}$ (1) и $\alpha_{\rm 0}$ (2) от суммарного давления ${\rm C_2F_3Cl}$ и He

Рис. 3. Экспериментальная (1) и теоретическая (2) зависимости 1 / (rp) от суммарного давления C₂F₃Cl и He

спериментальной кривой в области больших давлений связано с тем, что для этих давлений $\tau_{\rm вp} / (qt_{\rm u}) \ll 1$. Из (12) видно, что в области малых давлений при $q \ll 1$

$$E_S = q \, \frac{\hbar \omega}{2\sigma} \left(1 + \frac{t_{\rm H}}{3\tau_{\rm BO}} \right),\tag{13}$$

т. е. энергия E_s пропорциональна давлению.

Представляет также интерес зависимость q от давления. Из зависимо-

сти E_s от p (рис. 2) можно вычислить

$$r(p) = E_S^{\infty}/E_S(p) - 1.$$
 (14)

Из (12) и (10) следует:

$$\frac{\frac{1}{r_p} \simeq \frac{qt_{_{\rm II}}}{2\left(p\tau_{_{\rm Bp}}\right)} \frac{1}{1 - \frac{\tau_{_{\rm Bp}}}{t_{_{\rm II}}} \left[1 - \exp\left(-\frac{t_{_{\rm II}}}{\tau_{_{\rm Bp}}}\right)\right]}.$$
(15)

Экспериментальная зависимость 1/(rp) от давления представлена на рис. 3, 1. Если $q={\rm const}$ и $p\tau_{\rm pp}={\rm const}$, то теоретическая зависимость (рис. 3, 2) качественно согласуется с экспериментальной на участке A. Рост экспериментальной кривой с давлением на участке B, по-видимому, связан с ростом q из-за перекрытия линий с ростом давления. На участке A q мало меняется с давлением и если на этом участке положить $q=q_0$, то из численного значения 1/(rp) на пологом участке кривой можно оценить время вращательной релаксации молекул газа C_2F_3Cl в смеси с избытком гелия: $p\tau_{\rm sp} \simeq 1, 2 \cdot 10^{-7}$ сек \cdot тор.

Институт спектроскопии Академии наук СССР

Поступило 22 IX 1972

Академгородок Подольск. р-на Московск. обл.

ЦИТИРОВАННАЯ ЛИТЕРАТУРА

¹ Fujio Shimizu, Appl. Phys. Lett., 14, 378 (1969). ² В. П. Кабашников, А. С. Рубанов, Журн. прикл. спектроскопии, 10, 760 (1969). ³ R. C. Craffer, А. F. Gibson, М. F. Кітшіt. Brit. J. Appl. Phys., D2, 1135 (1969). ⁴ В. П. Кабашников, Журн. прикл. спектроскопии, 14, 815 (1971). ⁵ А. J. Beaulieu, Appl. Phys. Lett., 16, 504 (1970).